

# الگوریتم انطباق مرزی ترکیبی و سریع برای اختفای خطای زمانی داده‌های ویدئویی

سید مجتبی مروستی‌زاده و حسین قانعی یخدان

دانشکده مهندسی برق و کامپیوتر، دانشگاه بیزد، بیزد، ایران

## چکیده

با وجود روش‌های مقاومسازی داده‌ها در طرف فرستنده روی داده‌های ویدئو اعمال می‌شوند، بروز خطا در حین انتقال داده‌های ویدئویی از کانال‌های مخابراتی اجتناب ناپذیر است. اختفای خطای شیوه‌ای مؤثر جهت ارتقای کیفیت ویدئوهای آسیب‌دیده در طرف گیرنده است. در این مقاله، یک الگوریتم انطباق مرزی ترکیبی و سریع جهت تخمین دقیق تر بردارهای حرکت آسیب‌دیده ویدئوی دریافتی ارائه می‌شود. الگوریتم پیشنهادی، اختفای خطای مکروبلک آسیب‌دیده مطابق با فهرست اولویت اختفای خطای انجام می‌دهد. در روش ارائه شده، اعوجاج مرزی برای هر پیکسل از هر مرز مکروبلک آسیب‌دیده، وزن خاصی به آن‌ها در فرایند تطبیق، داده می‌شود. درنهایت، فهرست اولویت اختفای خطای بروزرسانی شده و بردار حرکت نامزد با کمترین اعوجاج مرزی به عنوان بردار حرکت مکروبلک آسیب‌دیده انتخاب می‌شود. نتایج تجربی نشان می‌دهد که الگوریتم پیشنهادی بدون افزایش قابل ملاحظه زمان محاسبات، ضمن بهبود کیفیت ویدئوهای بازسازی شده، مقدار متوسط PSNR برای دنباله‌های مختلف آزمون بیش از  $1/8$  dB در مقایسه با روش‌های مرجع افزایش می‌دهد.

واژگان کلیدی: اختفای خطای زمانی، تخمین بردار حرکت، الگوریتم انطباق مرزی ترکیبی، مکروبلک.

کاربردهای بی‌درنگ می‌شود. اختفای خطای به سه دستهٔ عمدۀ شامل روش‌های حوزهٔ مکان (ما و همکاران، ۲۰۱۰؛ عاشری و همکاران، ۲۰۱۲؛ سیلیجیانی و همکاران، ۲۰۱۲؛ کیم و همکاران، ۲۰۰۸)، روش‌های حوزهٔ زمان، و روش‌های حوزهٔ فرکانس (پارک و همکاران، ۱۹۹۷) تقسیم می‌شود.

شیوه‌های اختفای خطای مکانی، از افروزنگی‌های مکانی بین پیکسل‌های تصویر برای بازسازی مکروبلک‌های آسیب‌دیده بهره می‌برند. شیوه‌های اختفای خطای زمانی از افروزنگی‌های زمانی بین قاب‌های متساوی برای تخمین بردارهای حرکت<sup>۳</sup> آسیب‌دیده استفاده می‌کنند. شیوه‌های اختفای خطای فرکانسی، از اطلاعات مکروبلک‌های مجاور مکروبلک‌های آسیب‌دیده در حوزهٔ فرکانس برای اختفای خطای استفاده می‌کنند. در این مقاله، ما بر روی اختفای

## ۱- مقدمه

با توجه به پهنانی باند محدود شبکه‌های مخابراتی از قبیل شبکه‌های بی‌سیم و اینترنت، اطلاعات ویدئویی فشرده شده، به طور گسترده‌ای نسبت به خطاهای ارسال آسیب‌پذیر هستند. بهمنظور جلوگیری از افت کیفیت تصاویر ویدئویی دریافت شده در کدگشا، روش‌های گوناگونی پیشنهاد شده‌اند. این روش‌ها اغلب سبب افزایش پهنانی باند و یا تأخیر در کدگشایی ویدئوی دریافتی می‌شوند.

اختفای خطای<sup>۱</sup>، شیوه‌ای مؤثر به منظور تخمین اطلاعات آسیب‌دیده با استفاده از اطلاعات صحیح ویدئوی دریافتی در کدگشا است. استفاده از این روش سبب حفظ بهره مؤثر کدگذاری ویدئو، سرفه‌جویی در مصرف پهنانی باند و عدم ایجاد تأخیر در کدگشایی اطلاعات آسیب‌دیده جهت

<sup>2</sup>Macroblock

<sup>3</sup>Motion Vector

<sup>1</sup>Error Concealment

خطای زمانی متمرکز شده‌ایم.

ساده‌ترین روش اختفای خطای زمانی، روش جایگزینی زمانی<sup>۱</sup> (هسکل و همکاران، ۱۹۹۲) است. در این روش، تمامی بردارهای حرکت آسیب‌دیده با صفر جایگزین می‌شوند. در این صورت، هر ماکروبلاک آسیب‌دیده در قاب کنونی با ماکروبلاک متناظر مکانی از قاب قبلی جایگزین می‌شود. این روش برای کاربردهای دارای دنباله‌های ویدئویی با نرخ بیت پایین از قبیل کنفرانس‌های ویدئویی و نظارت یا مراقبت‌های زمان حقيقی که مقدار حرکت بین قاب‌های متوالی کم است، مناسب می‌باشد. همچنین در (چین و همکاران، ۲۰۱۰) با استفاده از روش جایگزینی زمانی<sup>۲</sup> بهمودیافته، یک الگوریتم اختفای خطای اتلاف تمام قابی<sup>۳</sup> ارائه شده است.

در الگوریتم بردارهای حرکت مضاعف وزن دارشده (آی و همکاران، ۲۰۱۰)، ابتدا دو بردار حرکت بهترین مطابق با معیار انطباق مرزی وزن دارشده انتخاب می‌شوند؛ سپس با وزن دهی هر یک براساس دقت بهدست آمده برای آن، بردار حرکت بهینه برای اختفای خطای انتخاب می‌شود. در (مروستیزاده و همکاران، ۱۳۹۲)، روشی برای بهبود الگوریتم انطباق مرزی وزن دارشده پیشنهاد شده است. در این روش، برای هر یک از بهترین دو ماکروبلاک نامزد بهدست آمده با معیار انطباق مرزی وزن دارشده، مرز با حداقل اطلاعات لبه‌ای استخراج می‌شود؛ سپس این مرزها با استفاده از روش درون‌یابی دومکعبی تغییر نرخ داده می‌شوند. در نهایت، بردار حرکتی که منجر به حداقل اعوجاج مرزی برای دو ماکروبلاک نامزد بهترین شود، انتخاب می‌شود.

در (هانگ و همکاران، ۲۰۰۶)، یک شیوه اختفای خطای زمانی با استفاده از شبکه عصبی SOM<sup>۴</sup> پیشنهاد شده است. در این شیوه، از شبکه عصبی SOM به عنوان یک پیش‌بینی‌کننده برای تخمین بردار حرکت ماکروبلاک آسیب‌دیده استفاده شده است. شیوه‌های استفاده از شبکه‌های عصبی GRNN<sup>۵</sup> (قانعی یخدان و خادمی، ۱۳۹۰) و CNN<sup>۶</sup> (قانعی یخدان، ۲۰۱۳) متناسب با حرکت در نواحی مختلف قاب‌های ویدئو، از پیش‌بینی‌کننده با شبکه‌های عصبی یا الگوریتم انطباق مرزی کلاسیک برای تخمین بردار حرکت ماکروبلاک آسیب‌دیده استفاده می‌کند.

روش اختفای خطای زمانی مبتنی بر استدلال فازی

روش استفاده از بردار حرکت قبلی (قبری و همکاران، ۱۹۹۳)، بردار حرکت آسیب‌دیده در قاب کنونی را با بردار حرکت ماکروبلاک متناظر مکانی از قاب قبلی جایگزین می‌کند. در روش‌های استفاده از بردار حرکت میانگین و بردار حرکت میانه (سوح و همکاران، ۱۹۹۷) نیز، بردار حرکت آسیب‌دیده با میانگین یا میانه بردارهای حرکت ماکروبلاک‌های مجاور مکانی در قاب کنونی تقریب زده می‌شود. در (وازکوئز و همکاران، ۲۰۱۱)، پنج روش اختفای خطای زمانی ساده جهت بازسازی قاب‌های تخریب شده تا حد ۵۰٪ توسط دو متريک مشابه برسی شده‌اند. روش‌هایی که تاکنون ذکر شد، تنها در کاربردهای خاص عملکرد مطلوبی دارند.

روش درون‌یابی لگرانز<sup>۷</sup> (زنگ و همکاران، ۲۰۰۴)، یک روش ساده و مفید برای بازسازی بلاک‌های ۴×۴ است. این روش فرض می‌کند که بردار حرکت آسیب‌دیده در محدوده بردارهای حرکت ماکروبلاک‌های مجاور است. در صورتی که این فرض صحیح نباشد، این روش نتایج نامطلوبی خواهد داشت.

در روش درون‌یابی بردار حرکت (کلکری، ۲۰۰۹)، بردار حرکت هر بلاک ۴×۴ با درون‌یابی از بردارهای حرکت ماکروبلاک‌های مجاور، تخمین زده می‌شود. در این روش، فاصله بین بلاک‌های ماکروبلاک‌های مجاور تا بلاک آسیب‌دیده به عنوان وزن بردارهای حرکت استفاده می‌شود. الگوریتم مشهور انطباق مرزی کلاسیک<sup>۸</sup> (لام و

<sup>۵</sup>Kalman filter

<sup>۶</sup>Self-Organizing Map (SOM)

<sup>۷</sup>General Regression Neural Network (GRNN)

<sup>۸</sup>Competitive Neural Network (CNN)

<sup>۱</sup>Temporal replacement

<sup>۲</sup>Whole frame loss

<sup>۳</sup>Lagrange interpolation

<sup>۴</sup>Classic Boundary Matching Algorithm (BMA)

ماکروبلاک های آسیب دیده ای که دارای لبه های مایل در مرزه های خود هستند، دچار مشکل می شوند.  
در روش انطباق مرزی جهتی<sup>۲</sup> (چن و همکاران، ۲۰۰۸)، ابتدا جهت مقایسه هر پیکسل مرزی ماکروبلاک نامزد از روی دو مرز داخلی ماکروبلاک نامزد در قاب مرجع تعیین می شود؛ سپس، هر پیکسل مرزی در جهت تعیین شده با پیکسل مرز خارجی ماکروبلاک آسیب دیده مقایسه می شود. این روش با فرض همبستگی بالای قاب های متواالی، سعی در بهبود تخمین بردار حرکت آسیب دیده دارد. الگوریتم انطباق مرزی زمانی جهتی<sup>۳</sup> (سان و همکاران، ۲۰۱۰)، جهت صحیح لبه های موجود در مرزها را با مقایسه پیکسل های مرزی در سه جهت در قاب مرجع به دست می آورد؛ سپس بردار حرکت نامزد با کوچک ترین اعوجاج مرزی در جهت های تعیین شده، برای احتفای خطای استفاده می شود. در صورتی که ماکروبلاک های نامزد حاصل از مراحل قبلی احتفای خطای و یا دارای تغییرات سریع روش نایی پیکسل های مرزی در قاب های متواالی باشند، این الگوریتم نتایج مطلوبی نخواهد داشت.

در این مقاله برای حل مشکلات روش های متداول احتفای خطای زمانی، از یک تابع انطباق مرزی ترکیبی و سریع برای تخمین دقیق تر بردار حرکت آسیب دیده استفاده می شود. در الگوریتم پیشنهادی، از دو معیار انطباق مرزی کلاسیک و انطباق مرز خارجی به طور همزمان در تابع تطبیق مرزی استفاده شده است. استفاده همزمان از این دو معیار سبب بهره برداری همزمان از همبستگی های زمانی و مکانی قاب های ویدئو می شود. از این رو، تصمیم گیری جهت انتخاب بهترین بردار حرکت نامزد برای احتفای خطای با دقت بیشتری انجام می شود. همچنان، ماکروبلاک های آسیب دیده در هر قاب بر اساس فهرست اولویت احتفای خطای بازسازی می شوند. این فهرست سبب افزایش مشارکت ماکروبلاک های مجاور ماکروبلاک آسیب دیده در تعیین کمترین اعوجاج مرزی با همسایگان خود می شود. در نهایت، الگوریتم پیشنهادی برای هر مرز خارجی ماکروبلاک آسیب دیده از ضرایب دقت متفاوت در تابع اعوجاج تطبیق کلی استفاده می کند. در نتیجه، الگوریتم پیشنهادی با جلوگیری از اثر گسترش خطای سبب افزایش دقت در تخمین بردار حرکت آسیب دیده می شود.

ادامه مقاله به صورت زیر سازماندهی شده است. در

<sup>2</sup> Directional Boundary Matching (DBM)

<sup>3</sup> Directional Temporal Boundary Matching Algorithm (DTBMA)

(زوفنگ و زوشانگ، ۲۰۱۰)، به طور همزمان از دو معیار اعوجاج تطبیق جانبی و جمع تفاضل مطلق برای تخمین بردارهای حرکت آسیب دیده استفاده می کند. همچنان در (لای و همکاران، ۲۰۰۶)، یک متريک فازی مبتنی بر انتگرال فازی Sugeno به عنوان معیاری برای مقایسه بردارهای حرکت نامزد استفاده شده است که با دستگاه بصری انسان سازگارتر است.

در (عراقی و همکاران، ۲۰۱۱)، روشی برای بهینه سازی بردار حرکت ماکروبلاک آسیب دیده با استفاده از بهترین دو بردار حرکت به دست آمده با تابع معیار انطباق مرزی کلاسیک ارائه شده است. همچنان در آن، پیش پردازشی برای تعیین مجموعه بهتر از بردارهای حرکت نامزد پیشنهاد شده است. شیوه اختفای خطای زمانی جامع برای H.264/AVC (وانگ، ۲۰۱۱)، به طور وفقی از دو حالت زمانی برای تخمین بردار حرکت آسیب دیده استفاده می کند. در الگوریتم انطباق مرز خارجی<sup>۱</sup> (تایپانیج و همکاران، ۲۰۰۷) از یک مدل انتقال خطی جهت احتفای خطای ماکروبلاک آسیب دیده استفاده می شود. اگرچه این الگوریتم بسیار مشابه با الگوریتم انطباق مرزی کلاسیک و دارای پیچیدگی به طور تقریبی یکسانی است، اما کارایی بهتری نسبت به الگوریتم انطباق مرزی کلاسیک دارد. همچنان در (تایپانیج و همکاران، ۲۰۰۸)، شیوه های احتفای خطای زمانی با پیچیدگی کم با استفاده از الگوریتم انطباق مرز خارجی برای کاربردهای تلفن همراه بررسی شده است.

در (مروس‌تی‌زاده و همکاران، ۲۰۱۳)، روشی پویا پیشنهاد شده است که مبتنی بر پیش‌بینی حرکت در منطقه ای که ماکروبلاک آسیب دیده در آن قرار دارد، از یکی از روش های جایگزینی زمانی، استفاده از بردار حرکت مجاور مکانی یا الگوریتم انطباق مرز خارجی وزن دار شده استفاده می کند.

روشی دیگر، الگوریتم انطباق مرزی زمانی- مکانی است که در (شیانگ و همکاران، ۲۰۱۱) پیشنهاد شده است. این روش، همزمان از دو معیار انطباق مرزی داخلی و خارجی و نیز معیاری برای همواری مرز بلاک آسیب دیده (با در نظر گرفتن ضرایب ثابت برای هر کدام) استفاده می کند. اغلب روش های احتفای خطای متداول (از قبیل الگوریتم انطباق مرزی کلاسیک)، تنها از یک جهت برای محاسبه تفاضل مرزی در تابع اعوجاج تطبیق استفاده می کنند. به همین دلیل، این روش ها در تخمین اطلاعات

<sup>1</sup>Outer Boundary Matching Algorithm (OBMA)

نماینده قاب مرجع، ( $MV(vi, vj)$ ) نشان‌دهنده بردار حرکت نامزد و  $S$  تعداد پیکسل‌های موجود در هر مرز است. مرزهای خارجی ماکروبلاک آسیب‌دیده و مرزهای داخلی ماکروبلاک نامزد در شکل (۱) نشان داده شده است.

### ۲-۲- معیار انطباق مرز خارجی<sup>۳</sup> (OBMC)

این معیار نیز مشابه با معیار استفاده شده در الگوریتم انطباق مرز خارجی است. این معیار، از قید همواری زمانی و مکانی مرزهای ماکروبلاک آسیب‌دیده استفاده می‌کند.تابع OBMC برای هر مرز ماکروبلاک آسیب‌دیده به صورت بردارهای  $S \times 1$  با روابط (۵) تا (۸) تعریف می‌شود.

$$OBMC_{top} = w_{top} \times \sum_{n=0}^{S-1} |f_{cur}(i+n, j-1) - f_{ref}(i+vi+n, j+vj-1)| \quad (5)$$

$$OBMC_{bottom} = w_{bottom} \times \sum_{n=0}^{S-1} |f_{cur}(i+n, j+S) - f_{ref}(i+vi+n, j+vj+S)| \quad (6)$$

$$OBMC_{left} = w_{left} \times \sum_{n=0}^{S-1} |f_{cur}(i-1, j+n) - f_{ref}(i+vi-1, j+vj+n)| \quad (7)$$

$$OBMC_{right} = w_{right} \times \sum_{n=0}^{S-1} |f_{cur}(i+S, j+n) - f_{ref}(i+vi+S, j+vj+n)| \quad (8)$$

این معیار در مواجهه با لبه‌های اریب در مرزهای ماکروبلاک آسیب‌دیده به خوبی عمل می‌کند؛ ولی در صورتی که قاب‌های متواالی همبستگی زمانی کمی داشته باشند، کارایی این معیار کاهش می‌یابد. مرزهای خارجی ماکروبلاک آسیب‌دیده و ماکروبلاک نامزد در شکل (۲) نشان داده شده است.

### ۳- الگوریتم اختفای خطای پیشنهادی

به منظور تمرکز روی موضوع اختفای خطای خطای، در این مقاله فرض شده که موقعیت ماکروبلاک‌های آسیب‌دیده در قاب‌های ویدئو مشخص است. در (وانگ و ژو، ۱۹۹۸)، برخی از روش‌های مؤثر برای آشکارسازی خطای در سامانه‌های

<sup>3</sup> Outer Boundary Matching Criterion (OBMC)

بخش دوم، معیارهای انطباق مرزی استفاده شده در الگوریتم پیشنهادی ارائه می‌شود. در بخش سوم، الگوریتم پیشنهادی تشریح شده است. نتایج تجربی حاصل از پیاده‌سازی الگوریتم در بخش چهارم و بهمنال آن نتیجه‌گیری در بخش پنجم خواهد آمد.

### ۲- معیارهای انطباق مرزی

معیارهای انطباق مرزی<sup>۱</sup> با استفاده از همبستگی‌های موجود بین پیکسل‌های یک قاب ویدئو یا با استفاده از همبستگی زمانی بین قاب‌های متواالی، سعی در تخمین صحیح بردارهای حرکت آسیب‌دیده در قاب کنونی را دارند. با توجه به این که در الگوریتم پیشنهادی از معیارهای انطباق مرزی استفاده شده است، در ادامه دو معیار مشهور انطباق مرزی کلاسیک و انطباق مرز خارجی به اختصار شرح داده می‌شوند.

### ۲-۱- معیار انطباق مرزی کلاسیک<sup>۲</sup> (CBMC)

این معیار، مشابه معیار استفاده شده در الگوریتم انطباق مرزی کلاسیک است. این الگوریتم براین فرض که پیکسل‌های تصویر در تصویر آسیب‌نديده همبستگی مکانی بالايی دارند، استوار است. تابع CBMC برای هر مرز ماکروبلاک آسیب‌دیده به صورت بردارهای  $S \times 1$  با روابط (۱) تا (۴) تعریف می‌شود.

$$CBMC_{top} = w_{top} \times \sum_{n=0}^{S-1} |f_{cur}(i+n, j-1) - f_{ref}(i+vi+n, j+vj)| \quad (1)$$

$$CBMC_{bottom} = w_{bottom} \times \sum_{n=0}^{S-1} |f_{cur}(i+n, j+S) - f_{ref}(i+vi+n, j+vj+S-1)| \quad (2)$$

$$CBMC_{left} = w_{left} \times \sum_{n=0}^{S-1} |f_{cur}(i-1, j+n) - f_{ref}(i+vi, j+vj+n)| \quad (3)$$

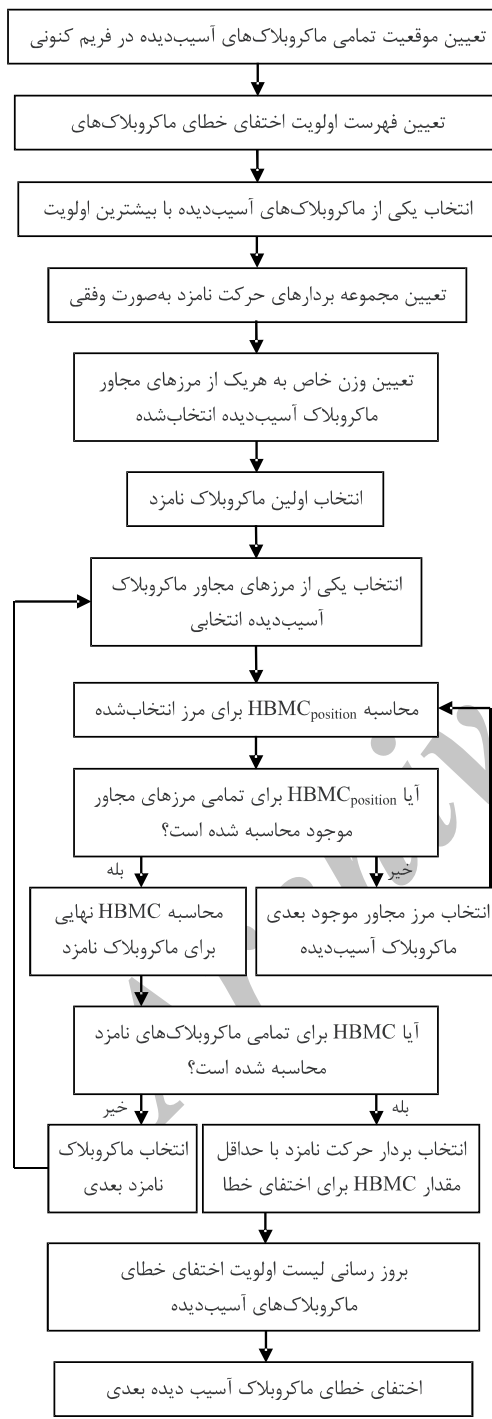
$$CBMC_{right} = w_{right} \times \sum_{n=0}^{S-1} |f_{cur}(i+S, j+n) - f_{ref}(i+vi+S-1, j+vj+n)| \quad (4)$$

در این روابط،  $(i, j)$  مختصات پیکسل چپ-بالا در ماکروبلاک آسیب‌دیده،  $f_{cur}(..)$  نماینده قاب کنونی،  $f_{ref}(..)$

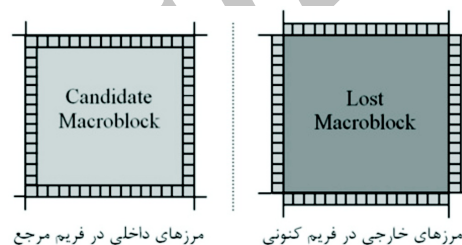
<sup>1</sup> Boundary Matching Criterions

<sup>2</sup> Classic Boundary Matching Criterion (CBMC)

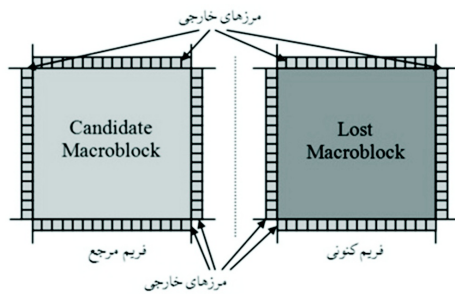
می شود؛ سپس، بردار حرکت نامزدی که سبب کوچکترین مقدار تابع اوجاچ طبق ترکیبی شرح داده شده در زیربخش ۲-۳ شود، برای اختفای خطای انتخاب شده و فهرست اولویت اختفای خطای بروزرسانی می شود.



کدیندی تصویر و ویدئو بررسی شده است. طبق روندnamه الگوریتم پیشنهادی که در شکل (۳) نشان داده شده است، پس از به دست آوردن مختصات ماکروبلاک‌های آسیب‌دیده در قاب کنونی، فهرست اولویت اختفای خطای ماکروبلاک‌های آسیب‌دیده تعیین می شود. چگونگی تعیین این فهرست، در زیربخش ۱-۳ تشریح شده است؛ سپس، یکی از ماکروبلاک‌های حرکت ماکروبلاک‌های بالا، پایین، چپ و راست ماکروبلاک آسیب‌دیده و نیز بردار حرکت متناظر بردار حرکت آسیب‌دیده انتخابی، از قاب قبلی استخراج می شوند. جهت بالابردن دقیق روش پیشنهادی، هریک از بردارهای حرکت نامزد در صورتی که آسیب‌دیده باشد، از مجموعه بردارهای حرکت حذف می شوند.



(شکل-۱): تشریح مناطق مزدی مورد استفاده در CBMC



(شکل-۲): تشریح مزهای خارجی مورد استفاده در OBMC

مجموعه بردارهای حرکت (در صورت سالم بودن تمامی بردارهای حرکت مجاور) به صورت بردار حرکت صفر، بردارهای حرکت همسایه، بردار حرکت میانگین و بردار حرکت میانه بردارهای حرکت همسایه و نیز بردار حرکت ماکروبلاک متناظر با ماکروبلاک آسیب‌دیده از قاب قبلی در نظر گرفته می شوند.

الگوریتم پیشنهادی متناسب با دقیق هر یک از مزهای ماکروبلاک‌های مجاور مکانی، به هر یک از آنها وزن خاصی می دهد که چگونگی آن در زیربخش ۲-۳ شرح داده

$$HBMC\_position = \\sum (\min \text{ of column } [GBMC\_position]) \\text{position} \in \{top, bottom, left, right\}$$

(10)

در نهایت، مقدار اعوجاج تطبیق نهایی برای هر ماکروبلاک نامزد به صورت رابطه (11) محاسبه می‌شود.

$$HBMC\_Candidate\_MB(z) = (w_{top} \times HBMC_{top}) + (w_{bottom} \times HBMC_{bottom}) + (w_{left} \times HBMC_{left}) + (w_{right} \times HBMC_{right})$$

(11)

در این رابطه،  $z$  تعداد ماکروبلاک‌های نامزد و  $w$  ضریب دقت برای هر مرز است. این ضریب، زمانی که ماکروبلاک مجاور به طور کامل سالم است برابر یک، زمانی که ماکروبلاک مجاور حاصل از اختفای خطای در مراحل قبلی است، برابر با  $0.5$  و زمانی که ماکروبلاک مجاور آسیب‌دیده، برابر صفر است. این وزن دهنی سبب حذف مرزهای ماکروبلاک‌های آسیب‌دیده مجاور و اهمیت بیشتر دادن به مرزهای با اطلاعات مطمئن‌تر در فرایند تطبیق پیکسل‌های مرزی (به صورت ورقی) برای هر ماکروبلاک نامزد می‌شود. در نهایت، بردار حرکت نامزدی که سبب کوچک‌ترین مقدار تابع اعوجاج تطبیق ترکیبی شود، به عنوان بردار حرکت ماکروبلاک آسیب‌دیده انتخاب می‌شود.

#### ۴- نتایج پیاده‌سازی الگوریتم پیشنهادی

فرمت‌های ویدئویی دیجیتال استاندارد مطابق با کاربردهای مختلف، دارای ویژگی‌های متنوعی در حجم داده، تعداد قاب در ثانیه، نرخ بیت ویدئو و وضوح تصویر هستند. از جمله فرمتهای متداول ویدئویی دیجیتال، فرمتهای CIF<sup>3</sup> و QCIF<sup>4</sup> هستند که در کاربردهایی از قبیل کنفرانس‌های ویدئویی و تلفن‌های تصویری مورد استفاده قرار می‌گیرند. به منظور پیاده‌سازی روش پیشنهادی، از دنباله‌های آزمون "Mother-daughter" و "Bus" و "Foreman" و "Mother-daughter" و "Walk" و "Bridge-close" و "daughter" با وضوح QCIF<sup>3</sup> (۱۷۶×۱۴۴) پیکسل در هر قاب استفاده شد. همچنین، اختفای خطای تنها

<sup>3</sup>Common Intermediate Format (CIF)

<sup>4</sup>Quarter CIF (QCIF)

#### ۳- تعیین فهرست اولویت اختفای خطای

همان‌گونه که ذکر شد، الگوریتم پیشنهادی برای ماکروبلاک‌های آسیب‌دیده موجود در هر قاب، فهرست اولویت اختفای خطای را تعیین و پس از اختفای خطای هر ماکروبلاک آسیب‌دیده، آن را به روزرسانی می‌کند. پس از به دست آوردن مختصات ماکروبلاک‌های آسیب‌دیده در قاب کنونی، تعداد ماکروبلاک‌های مجاور مکانی سالم برای هر ماکروبلاک آسیب‌دیده تعیین می‌شود. در این صورت، متناسب با این تعداد، فهرست اولویت اختفای خطای ماکروبلاک‌های آسیب‌دیده قاب کنونی تعیین می‌شود. در این فهرست، به ماکروبلاک‌های آسیب‌دیده‌ای که دارای مرزهای صحیح بیشتری باشند، اولویت بالاتری داده می‌شود. با استفاده از این فهرست، در هر مرحله، ماکروبلاک با اولویت بالاتر جهت اختفای خطای انتخاب می‌شود و پس از اختفای خطای هر ماکروبلاک آسیب‌دیده، این فهرست به روزرسانی می‌شود. این به روزرسانی شامل حذف ماکروبلاک مخفی شده و تعداد همسایگان آن و اضافه کردن یک همسایه به ماکروبلاک‌های مجاور مکانی در صورت آسیب‌دیده بودن آنها می‌شود.

#### ۲-۳- معیار انطباق مرزی ترکیبی<sup>1</sup> (HBMC)

الگوریتم پیشنهادی، از دو معیار انطباق مرزی شرح داده شده به صورت ترکیبی استفاده می‌کند. این معیار سعی دارد تا کوچک‌ترین مقدار تابع تطبیق مرزی را به ازای هر پیکسل مرزی ماکروبلاک نامزد، بدون افزایش چشم‌گیر در پیچیدگی محاسباتی به دست آورد.

در این معیار، ابتدا هردو بردار اعوجاج تطبیق برای CBMC و OBMC به ازای هر مرز ماکروبلاک نامزد محاسبه می‌شوند؛ سپس برای هر یک از این مرزها، ماتریس GBMC<sup>2</sup> با ابعاد  $2 \times 8$  (شامل بردارهای CBMC و OBMC) به صورت رابطه (9) تشکیل می‌شود؛

$$GBMC\_position = \begin{bmatrix} CBMC\_position \\ OBMC\_position \end{bmatrix}$$

(9)

$position \in \{top, bottom, left, right\}$

سپس، مقدار اعوجاج مرزی ترکیبی (HBMC) برای هر یک از مرزهای ماکروبلاک نامزد به صورت رابطه (10) به دست می‌آید.

<sup>1</sup> Hybrid Boundary Matching Criterion (HBMC)

<sup>2</sup> General Boundary Matching Criterion (GBMC)

مقایسه با روش‌های دیگر برای تخمین بردارهای حرکت آسیب‌دیده است.

برای بررسی کیفیت و پیچیدگی زمانی روش‌های Core-i5، 2.4 GHz با ویندوز 7، 4G RAM و نرم‌افزار MATLAB 2010 استفاده شده است. مقادیر متوسط زمان بازسازی هر ماکروبلک برای دنباله‌های آزمون CIF و QCIF در نرخ ATALF ماکروبلک ۱۰٪ در قاب، در جدول (۲) آمده است. همچنین، در شکل‌های (۴) و (۵) مقادیر متوسط PSNR به ترتیب برای دنباله‌های آزمون CIF و QCIF بهارای هر قاب نشان داده شده است.

نتایج تجربی به دست آمده از شکل (۴) نشان می‌دهند که الگوریتم پیشنهادی مقدار PSNR را در برخی از قاب‌های دنباله‌های آزمون CIF، بهترین حدود ۳/۴۳، ۳/۴۵ و ۳/۲۰ دستی بل در مقایسه با روش‌های DBM، BMA، DTBMA و OBMA افزایش می‌دهد. همچنین با توجه به شکل (۵)، الگوریتم پیشنهادی مقدار PSNR را در برخی از قاب‌های دنباله‌های آزمون QCIF در مقایسه با روش‌های DBM، BMA، DTBMA، DBM، BMA و OBMA بهترین حدود ۶/۵۸، ۶/۶۰، ۵/۲۱ و ۵/۳۹ دستی بل افزایش می‌دهد.

شکل (۶-الف) یک قاب بدون خطا (قاب ۱۹) از دنباله آزمون Bus با وضوح CIF و شکل (۶-ب) قاب تخریب شده آن با نرخ متوسط اتلاف ۲۰٪ برای ماکروبلک‌ها را نشان می‌دهد. قاب‌های بازسازی شده با روش‌های OBMA، DTBMA، DBM، BMA و الگوریتم پیشنهادی به ترتیب در شکل‌های (۶-ج) تا (۶-ز) نشان داده شده‌اند. همچنین، شکل (۷-الف) یک قاب بدون خطا (قاب ۶۱) از دنباله آزمون Walk با وضوح QCIF و شکل (۷-ب) قاب تخریب شده آن با نرخ متوسط اتلاف ۲۰٪ برای ماکروبلک‌ها را نشان می‌دهد. قاب‌های بازسازی شده با روش‌های OBMA، DTBMA، DBM، BMA و الگوریتم پیشنهادی به ترتیب در شکل‌های (۷-ج) تا (۷-ز) نشان داده شده‌اند (دایره‌های قرمز رنگ جهت مقایسه کیفیت عینی روش‌ها رسم شده‌اند). همان‌طور که از شکل‌های (۶) و (۷) مشاهده می‌شود، الگوریتم پیشنهادی علاوه بر افزایش کیفیت عینی قاب‌های ویدئویی بازسازی شده، سبب افزایش کیفیت ذهنی آنها نیز شده است.

با استفاده از مؤلفه روشنایی هر قاب از دنباله‌های آزمون انجام شد. دنباله‌های ویدئویی در فرمت ۴:۲:۰ کدگذاری شده و اندازه هر ماکروبلک برای مؤلفه روشنایی در هر قاب ۱۶×۱۶ پیکسل در نظر گرفته شد. جهت محاسبه بردارهای حرکت از الگوریتم تطبیق بلاک<sup>۱</sup> (بارجاتیا، ۲۰۰۴) با جستجوی کامل<sup>۲</sup> و پارامتر جستجوی  $p=7$  استفاده شد. خطای قاب‌های ویدئویی برای مؤلفه روشنایی به طور تصادفی و با نرخ‌های اتلاف ماکروبلک برابر با ۵٪، ۱۰٪ و ۲۰٪ در هر قاب ایجاد شد.

جهت ارزیابی، الگوریتم پیشنهادی با روش‌های انطباق مرزی جهتی (DBM)، الگوریتم انطباق مرزی زمانی جهتی (BMA) کلاسیک (OBMA) و الگوریتم انطباق مرز خارجی (DTBMA) مقایسه شد. برای افزایش دقت نتایج، پیاده‌سازی برای هر روش بیست مرتبه تکرار و از میانگین نتایج حاصل، به عنوان نتیجه نهایی استفاده شد. مقادیر متوسط PSNR<sup>۳</sup> روشنایی برای سی قاب از دنباله‌های CIF و هشتاد قاب از دنباله‌های QCIF در جدول (۱) آمده است. در این جدول برای دنباله‌های مقایسه روش‌های ذکر شده، مقادیر PSNR برای دنباله‌های آسیب‌دیده (Damaged Video) در مقایسه با قاب بدون خطای دریافتی (Error Free) نیز آمده است.

مطابق با جدول (۱)، الگوریتم پیشنهادی متوسط PSNR بیشتری را در هر دو وضوح CIF و QCIF نسبت به روش‌های OBMA، DBM، BMA و DTBMA به دست آورده است. از نتایج دنباله‌های با وضوح CIF جدول (۱) مشاهده می‌شود، که الگوریتم پیشنهادی، متوسط PSNR و OBMA، DTBMA، DBM، BMA و DTBMA به ترتیب تا حد ۱/۳۱۵۷، ۱/۵۱۹۱ و ۱/۶۹۸۳ دستی بل<sup>۴</sup> افزایش داده است. همچنین از نتایج دنباله‌های با وضوح QCIF در جدول (۱) مشاهده می‌شود که الگوریتم پیشنهادی، متوسط PSNR را نسبت به روش‌های OBMA، DTBMA، DBM و DTBMA به ترتیب تا حد ۱/۸۷۷۷، ۱/۵۱۹۱ و ۱/۶۹۸۳ دستی بل افزایش داده است. نزدیکی نتایج به دست آمده از الگوریتم پیشنهادی و مقادیر PSNR دنباله‌های بدون خطای دریافتی در جدول (۱)، نشان‌دهنده افزایش دقت قابل قبول الگوریتم پیشنهادی در

<sup>1</sup>Block Matching Algorithm

<sup>2</sup>Exhaustive search

<sup>3</sup>Peak Signal to Noise Ratio (PSNR)

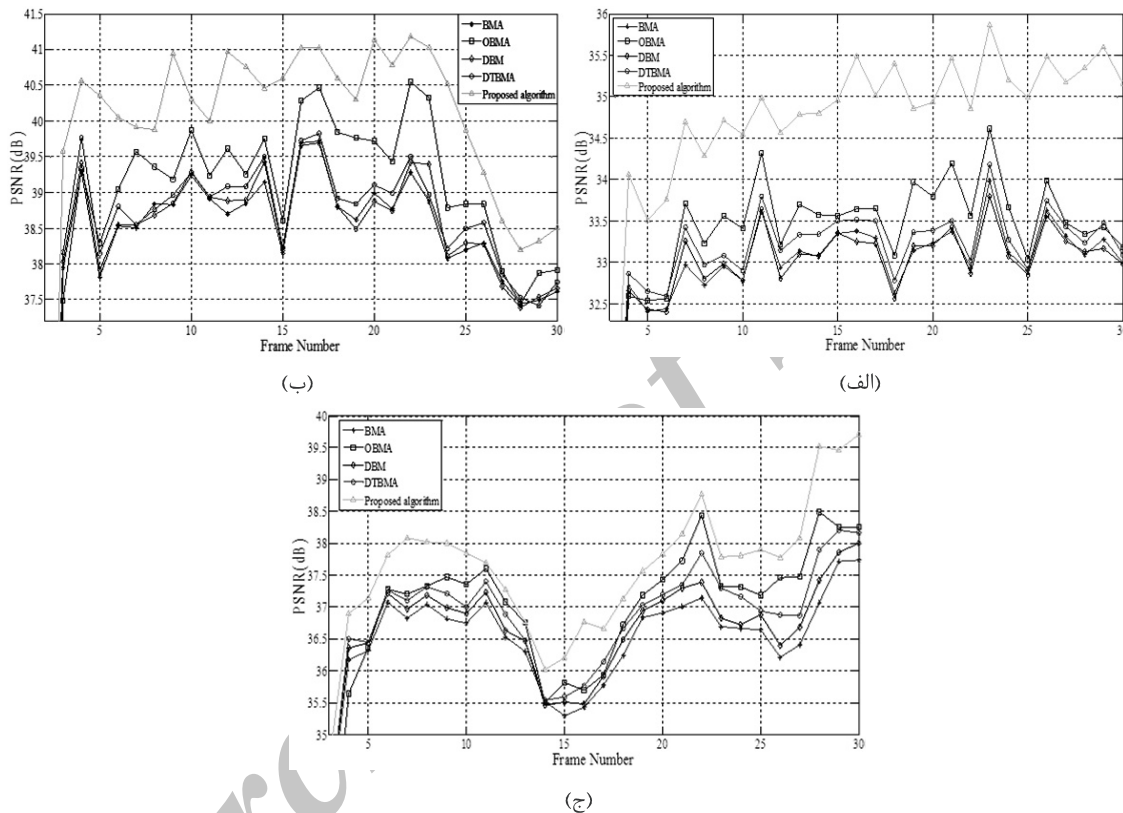
<sup>4</sup>dB

(جدول-۱): نتایج متوسط PSNR (dB) برای دنباله‌های ویدئوی مختلف

وضوح ویدئو	دنباله ویدئو	روش	متوسط PSNR به ازای نرخ اتلاف ماکروبلاک		
			%۵	%۱۰	%۲۰
CIF	Bus	Damaged Video	۲۰/۱۸۳۹	۱۷/۰۷۵۲	۱۳/۸۸۷۷
		Error Free	۴۰/۰۱۷۸	۳۷/۰۹۶۷	۳۴/۷۴۰۲
		BMA	۳۸/۴۱۵۵	۳۵/۶۱۴۷	۳۲/۲۸۹۲
		DBM	۳۸/۳۵۸۵	۳۵/۰۶۸۴	۳۲/۲۶۶۳
		DTBMA	۳۸/۷۲۰۳	۳۵/۰۰۵۶	۳۲/۴۴۵۳
		OBMA	۳۹/۱۱۴۰	۳۶/۰۹۰۳	۳۲/۸۴۸۷
		Proposed Method	۴۰/۰۰۵۶	۳۷/۳۱۳۰	۳۳/۹۶۴۴
QCIF	Mother-daughter	Damaged Video	۱۸/۹۱۹۵	۱۶/۰۶۲۶	۱۳/۲۳۸۶
		Error Free	۴۴/۰۳۸۲	۴۲/۰۶۵۱	۳۹/۳۴۲۱
		BMA	۴۳/۱۰۲۲	۴۰/۰۶۳۷	۳۷/۶۲۲۳
		DBM	۴۳/۲۴۷۹	۴۰/۰۶۰۴	۳۷/۸۸۴۲
		DTBMA	۴۳/۳۱۸۶	۴۰/۰۷۶۲۵	۳۷/۷۷۶۸
		OBMA	۴۳/۶۶۰۳	۴۱/۱۲۲۹	۳۸/۱۲۳۴
		Proposed Method	۴۴/۰۳۱۲۴	۴۱/۰۷۸۷	۳۹/۱۱۸۹
QCIF	Foreman	Damaged Video	۱۸/۲۵۸۲	۱۵/۰۲۲۲	۱۲/۱۹۶۲
		Error Free	۴۲/۹۶۹۳	۴۰/۰۴۴۴۳	۳۷/۴۸۵۰
		BMA	۴۱/۱۲۹۹	۳۸/۰۴۱۷	۳۵/۰۳۴۰
		DBM	۴۱/۲۸۹۴	۳۸/۰۱۸۲	۳۵/۰۸۶۹
		DTBMA	۴۱/۰۱۰۱	۳۹/۰۰۷۰	۳۵/۰۸۸۴
		OBMA	۴۱/۰۸۰۹	۳۹/۰۲۲۱	۳۵/۰۹۴۶
		Proposed Method	۴۲/۰۲۶۴۲	۳۹/۰۶۶۲۷	۳۶/۰۸۱۹
QCIF	Walk	Damaged Video	۲۰/۹۸۴۲	۱۶/۰۹۱	۱۳/۴۳۹۷
		Error Free	۵۰/۰۱۲۴۴	۴۵/۰۷۷۷۳	۴۱/۱۴۵۲
		BMA	۴۹/۱۱۲۸	۴۳/۰۹۷۱	۳۸/۰۷۲۳۵
		DBM	۴۹/۰۷۸۸	۴۳/۰۷۲۸	۳۸/۰۷۴۹۴
		DTBMA	۴۹/۱۹۸۲	۴۳/۰۹۴۸	۳۸/۰۹۰۵۸
		OBMA	۴۹/۰۴۸۲	۴۴/۰۶۴۹	۳۹/۰۴۸۹
		Proposed Method	۵۰/۰۳۱۲۲	۴۵/۰۲۳۴۵	۴۰/۰۳۵۴۴
QCIF	Mother-daughter	Damaged Video	۲۰/۰۳۸۶۸	۱۶/۰۷۵۱۷	۱۳/۰۳۳۶۳
		Error Free	۵۲/۰۱۸۵۴	۵۶/۰۱۸۳۶	۵۱/۰۹۰۴۱
		BMA	۶۰/۰۲۶۸۹	۵۴/۰۹۶۰۱	۵۰/۰۴۲۳۶
		DBM	۶۰/۰۳۵۲۴	۵۴/۰۹۶۲۱	۵۰/۰۴۵۹۵
		DTBMA	۶۰/۰۷۸۵۰	۵۵/۰۲۵۷۰	۵۰/۰۷۶۱۰
		OBMA	۶۰/۰۹۴۱۷	۵۵/۰۵۰۷۳	۵۰/۰۹۶۶۶
		Proposed Method	۵۲/۰۱۴۶۶	۵۶/۰۰۴۵۹	۵۱/۰۷۲۵۳
QCIF	Bridge-close	Damaged Video	۱۹/۰۴۷۰۶	۱۵/۰۶۱۱۵	۱۲/۰۳۸۴۶
		Error Free	۴۹/۰۹۸۷۱	۴۷/۰۰۵۱۰	۴۳/۰۴۶۳۴
		BMA	۴۹/۰۳۵۷۹	۴۶/۰۳۷۶۷	۴۲/۰۰۵۷
		DBM	۴۹/۰۳۱۷۰	۴۶/۰۳۵۰۷	۴۲/۰۴۵۵۷
		DTBMA	۴۹/۰۴۰۸۰	۴۶/۰۳۸۹۸	۴۲/۰۵۷۷۲
		OBMA	۴۹/۰۴۳۰۸	۴۶/۰۶۶۴۱	۴۲/۰۷۹۴۹
		Proposed Method	۴۹/۰۹۸۰۷	۴۷/۰۰۴۰۱	۴۳/۰۳۵۳۵

(جدول - ۲): مقایسه متوسط زمان (msec) بازسازی هر ماکرو بلاک برای متوجه نرخ اتلاف ماکرو بلاک ۱۰٪ در هر قاب

وضوح ویدئو	دباله ویدئو	روش های اختفای خطا				
		BMA	DBM	DTBMA	OBMA	Proposed Method
CIF	Bus	۲/۵۲۳۳	۳/۰۹۳۰	۳/۱۲۷۵	۲/۵۲۷۹	۲/۱۵۹۳
	Mother-daughter	۲/۵۳۳۲	۳/۰۹۶۸	۳/۱۳۲۳	۲/۵۳۱۷	۲/۲۱۱۷
	Foreman	۲/۶۰۹۱	۳/۱۲۲۷	۳/۱۵۹۲	۲/۵۹۲۲	۲/۱۸۰۶
QCIF	Walk	۴/۸۲۳۹	۵/۳۶۵۱	۵/۴۵۲۹	۴/۷۸۶۱	۵/۲۶۱۹
	Mother-daughter	۵/۳۰۳۵	۵/۸۶۱۵	۵/۸۲۱۶	۵/۲۰۴۲	۵/۷۱۴۴
	Bridge-close	۵/۱۵۹۷	۵/۶۰۱۹	۵/۶۳۹۶	۵/۱۷۲۲	۵/۵۴۴۸

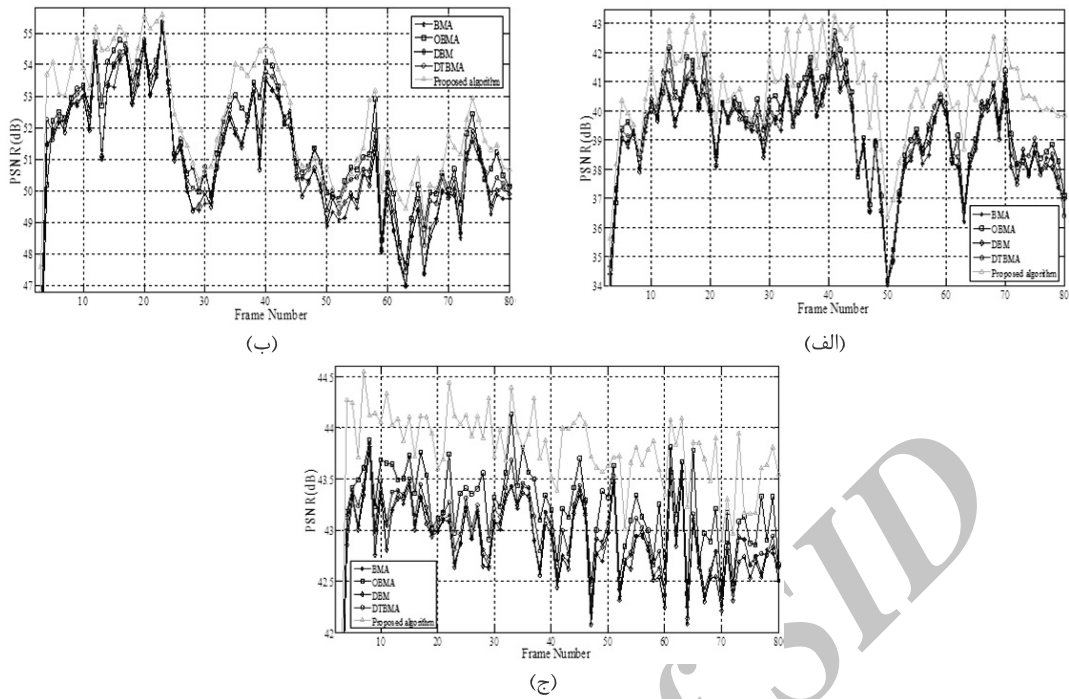


(شکل - ۴): مقادیر PSNR برای قاب های دنباله های آزمون با وضوح CIF.

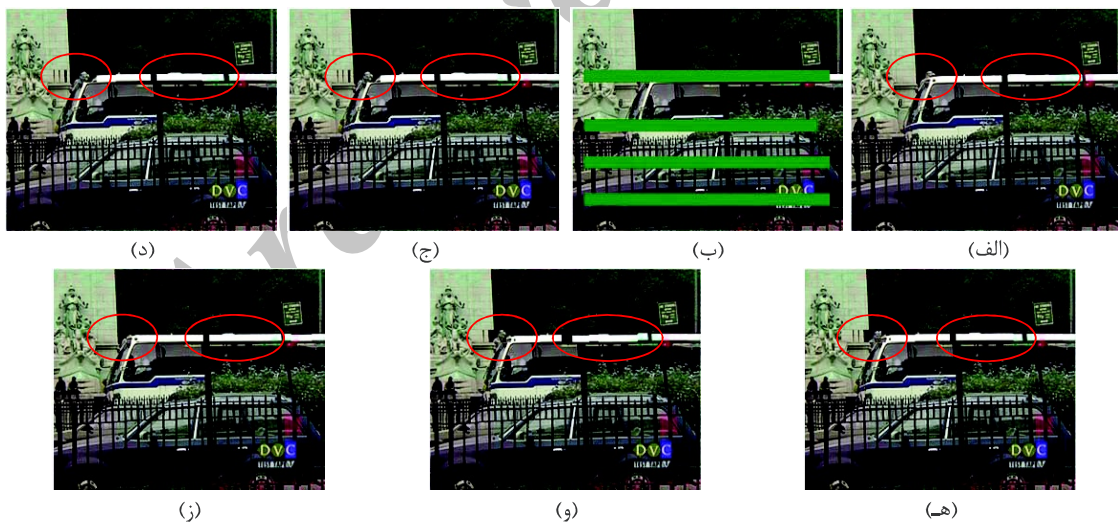
الف: Foreman، ب: Bus، ج: Mother-daughter (متوجه نرخ اتلاف ماکرو بلاک ها ۲۰٪ است).

خواهد بود تا از حداقل اطلاعات موجود در مرزها جهت تطبیق بهترین ماکرو بلاک نامزد بهره مند شود. درنتیجه، معیار انطباق مرزی ترکیبی، سبب می شود که الگوریتم پیشنهادی حتی از کوچک ترین شباهت های ماکرو بلاک های نامزد، بهترین تطبیق مرزی صورت گیرد. همچنین، الگوریتم پیشنهادی با استفاده از این معیار قادر خواهد بود تا برای هر مرز از هر ماکرو بلاک نامزد به دفعات مورد نیاز از معیار انطباق مرزی کلاسیک و معیار انطباق مرز خارجی استفاده کند؛ در این صورت، هر مرز از ماکرو بلاک آسیب دیده قادر

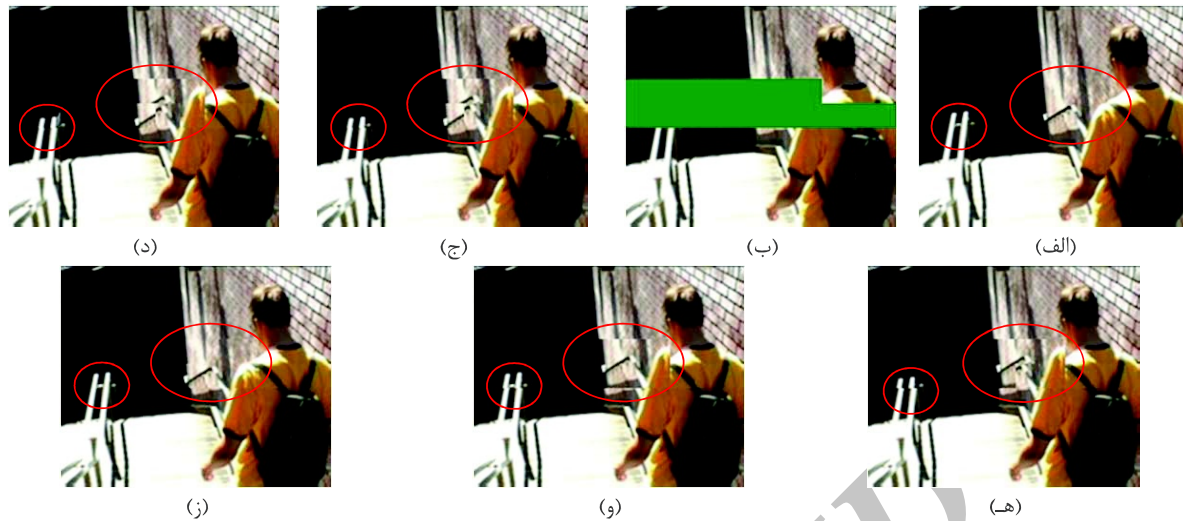
الگوریتم پیشنهادی با استفاده از معیار انطباق مرزی ترکیبی، قادر است تا به صورت هم زمان از افزونگی های زمانی و مکانی موجود در قاب های متوالی استفاده کند. این معیار سبب می شود تا برای هر پیکسل از هر مرز ماکرو بلاک های نامزد، بهترین تطبیق مرزی صورت گیرد. همچنین، الگوریتم پیشنهادی با استفاده از این معیار قادر خواهد بود تا برای هر مرز از هر ماکرو بلاک نامزد به دفعات مورد نیاز از معیار انطباق مرزی کلاسیک و معیار انطباق مرز خارجی استفاده کند؛ در این صورت، هر مرز از ماکرو بلاک آسیب دیده قادر



(شکل -۵): مقادیر PSNR برای قاب‌های دنباله‌های آزمون باوضوح QCIF، ب: Walk، ج: Mother-daughter، (الف): متوسط نرخ اتلاف ماکروبلک‌ها ۲۰٪ است).



(شکل -۶): مقایسه کیفیت بصری برای قاب ۱۹ دنباله آزمون Bus باوضوح CIF و میانگین نرخ اتلاف ۲۰٪، الف: تصویر اصلی، ب: تصویر تخریب شده، ج: تصویر بازسازی شده با BMA، د: تصویر بازسازی شده با OBMA، ه: تصویر بازسازی شده با DBM، و: تصویر بازسازی شده با DTBMA، ز: تصویر بازسازی شده با الگوریتم پیشنهادی بازسازی شده با OBMA.



(شکل-۷): مقایسه کیفیت بصری برای قاب ۶۱ دنباله آزمون Walk باوضوح QCIF و میانگین نرخ اتلاف ۲۰٪، (الف): تصویر اصلی، (ب): تصویر تخریب شده، (ج): تصویر بازسازی شده با BMA، (د): تصویر بازسازی شده با DBM، (ه): تصویر بازسازی شده با DTBMA، (ز): تصویر بازسازی شده با الگوریتم پیشنهادی OBMA

می‌شود. همچنین با تعیین فهرست اولویت اختفای خطای ماکروبلاک‌های آسیب‌دیده به ترتیب اولویت بازسازی می‌شوند. این موضوع باعث می‌شود که تعداد مزدی‌های موجود برای ماکروبلاک‌های آسیب‌دیده با تعداد مزدی‌کمتر افزایش یافته و بردار حرکت آسیب‌دیده آن‌ها با دقت بالاتری تخمین زده شود. همچنین، الگوریتم پیشنهادی با تعیین وزن برای مزدی‌های خارجی ماکروبلاک‌های آسیب‌دیده سبب افزایش دقت تخمین بردار حرکت و کاهش اثر گسترش خطای در قاب‌های بعدی می‌شود. نتایج تجربی نشان می‌دهد که الگوریتم پیشنهادی بدون افزایش قابل ملاحظه زمان محاسبات، ضمن بهبود کیفیت ویدئوهای بازسازی شده، مقدار متوسط PSNR برای دنباله‌های مختلف آزمون بیش از ۱/۸ dB در مقایسه با روش‌های مرجع افزایش می‌دهد.

## ۶- مراجع

قانعی یخدان حسین، خادمی مرتضی، ۱۳۹۰، "روشی جدید برای انتفای خطای زمانی برای دنباله‌های ویدئویی با استفاده از شبکه عصبی GRNN"، نوزدهمین کنفرانس مهندسی برق ایران، صفحه ۲۷۶۴-۲۷۶۹.

مروستی‌زاده سید مجتبی، قانعی یخدان حسین، کسایی شهره، ۱۳۹۲، "بهبود الگوریتم انطباق مزدی وزن دار شده برای انتفای خطای زمانی دنباله‌های ویدئویی"، هشتمین

به عنوان امکان محاسبه ماتریسی تابع اعوجاج مزدی هر مزدی‌کمتر از نامزد، پیچیدگی محاسباتی الگوریتم پیشنهادی (مطابق با نتایج جدول (۲)) افزایش قابل ملاحظه‌ای ندارد که سبب مناسب‌بودن این الگوریتم برای کاربردهای بی‌درنگ می‌شود. همچنین فهرست اولویت اختفای خطای، امکان انتفای خطای غیر ترتیبی را به الگوریتم پیشنهادی می‌دهد. این فهرست به ماکروبلاک‌های آسیب‌دیده با تعداد مزدی‌های مجاور کمتر (هنگامی که چندین ماکروبلاک آسیب‌دیده در مجاورت یکدیگر قرار دارند) اجازه می‌دهد تا تعداد مزدی‌های خود را افزایش دهند. در این صورت، فرایند انطباق مزدی برای این ماکروبلاک‌ها با صحت بالاتری انجام می‌شود. بنابراین، استفاده از فهرست اولویت اختفای خطای برای ماکروبلاک‌های آسیب‌دیده و نیز استفاده از وزن خاص در تابع تطبیق اعوجاج ترکیبی آن، سبب افزایش دقت و کاهش اثر گسترش خطای در قاب‌های بعدی می‌شوند.

## ۵- نتیجه‌گیری

در این مقاله، یک الگوریتم انطباق مزدی ترکیبی و سریع برای تخمین دقیق تر بردارهای حرکت آسیب‌دیده پیشنهاد شد. الگوریتم پیشنهادی، از تابع انطباق مزدی ترکیبی در مقایسه ماکروبلاک‌های نامزد استفاده می‌کند. این معیار سبب استفاده همزمان از هر دو معیار انطباق مزدی کلاسیک و خارجی برای هر پیکسل از هر مزدی ماکروبلاک‌های نامزد

- Lai Ch., Hao Ch., and Shen X., 2006, "Temporal error concealment algorithm using fuzzy metric", Int. Conf. Intelligent Computing (ICIC), Vol. 4114, pp. 171-176.
- Lam W.M., Reibman A., and Liu R.B., 1993, "Recovery of lost or erroneously received motion vectors", IEEE Int. Conf. Acoustics, Speech, and Signal Processing, Vol. 5, pp. 417-420.
- Ma M., Gary Chan S.H., and Sun M.T., 2010, "Edge-directed error concealment", IEEE Trans. Circuits and Systems for Video Technology, Vol. 20, No. 3, pp. 382-395.
- Marvasti-Zadeh S.M., Ghanei-Yakhdan H., and Kasaei S., 2013, "Dynamic temporal error concealment for video data in error-prone environments", 8th Iranian Conf. Machine Vision & Image Processing (MVIP), pp. 729-733.
- Park J.W., Kim J.W., and Lee S.U., 1997, "DCT coefficients recovery-based error concealment technique and its application to the MPEG-2 bit stream error", IEEE Trans. Circuits Syst. Video Technol., Vol. 7, pp. 845-854.
- Suh J.W., and Ho Y.S., 1997, "Error concealment based on directional interpolation", IEEE Trans. Consumer Electronics, Vol. 43, No. 3, pp. 295-302.
- Sun Y., Sun S., Jing X., and Zhao L., 2010, "A directional temporal error concealment algorithm for H.264", 2<sup>nd</sup> IEEE Int. Conf. Network Infrastructure and Digital Content, pp. 275-279.
- Thaipanich T., Wu P.H., and Jay Kuo C.C., 2007, "Video error concealment with outer and inner boundary matching algorithms", Proceedings of the SPIE, Vol. 6696, pp. 6696-6707.
- Thaipanich T., Wu P.H., and Jay Kuo C.C., 2008, "low-complexity video error concealment for mobile applications using OBMA", IEEE Trans. Consumer Electronics, Vol. 54, No. 2, pp. 753-761.
- Tsiliogianni E., Kondi L.P., and Katsaggelos A.K., 2012, "Shape error concealment based on a shape-preserving boundary approximation", IEEE Trans. Image Processing, Vol. 21, No. 8, pp. 3573-3585.
- Vazquez M.G., Garcia-Ramirez A.F., and Ramirez-Acosta A.A., 1997, "Image processing for error concealment", 10th Mexican Int. Conf. Artificial Intelligence (MICAI), pp. 133-138.
- Wang C.C., Chuang C.Y., Fu K.R., and Lin S.D., 2011, "An integrated temporal error concealment for H.264/AVC based on spatial evaluation criteria", Journal of Visual Communication and Image Representation (JVCIR), Vol. 22, No. 6, pp. 522-528.
- Wang Y., and Zhu Q.F., 1998, "Error control and concealment for video communication: A review", IEEE, Vol. 86, No. 5, pp. 974-997.
- Xiang Y., Feng L., Xie S., and Zhou Zh., 2011, "An efficient spatio-temporal boundary matching algor-
- Ai M., and Jiang Q., 2010, "Weighted motion vectors of double candidate blocks based temporal error concealment method for video transmission over wireless network", Int. Conf. Educational and Network Technology (ICENT), pp. 478-481.
- Araghi A., AgahianPanahi M., and Kasaei S., 2011, "Error concealment using wide motion vector space for H.264-AVC", 19<sup>th</sup> Iranian Conf. Electrical Engineering (ICEE), pp. 2898-2930.
- Asheri H., Rabiee H.R., Pourdamghani N., and Ghanbari M., 2012, "Multi-directional spatial error concealment using adaptive edge thresholding", IEEE Trans. Consumer Electronics, Vol. 58, No. 3, pp. 880-885.
- Barjatya A., 2004, "Block matching algorithms for motion estimation", Final Project Paper, DIP 6620, pp. 1-6.
- Chen X., Chung Y., and Bae C., 2008, "Dynamic multi-mode switching error concealment algorithm for H.264/AVC video applications", IEEE Trans. Consumer Electronics, Vol. 54, No. 1, pp. 683-695.
- Chien J., Li G., and Chen M., 2010, "Effective error concealment algorithm of whole frame loss for H.264 video coding standard by recursive motion vector refinement", IEEE Trans. Consumer Electronics, Vol. 56, No. 3, pp. 1689-1698.
- Gao Z., and Lie W., 2004, "Video error concealment by using kalman-filtering technique", IEEE Int. Symp. Circuits and Systems, pp. 69-72.
- Ghanbari M., and Seferidis V., 1993, "Cell-loss concealment in ATM video codecs", IEEE Trans. Circuits and Systems for Video Technology, Vol. 3, No.3, pp. 238-247.
- Ghanei-Yakhdan H., 2013, "A novel dynamic temporal error concealment technique for video sequences using a competitive neural network", 1<sup>st</sup> Iranian Conf. Pattern Recognition and Image Analysis, pp. 843-847.
- Haskell P., and Messerschmitt D., 1992, "Resynchronization of motion compensated video affected by ATM cell loss", IEEE Int. Conf. Acoustics, Speech, and Signal Processing, Vol. 3, pp. 545-548.
- Huang Y.L., and Lien H.Y., 2006, "Temporal error concealment for MPEG-4 coded video using a self-organizing map", IEEE Trans. Consumer Electronics, Vol. 52, No. 3, pp. 676-681.
- Kim M., Lee H., and Sull S., 2008, "Spatial error concealment for H.264 using sequential directional interpolation", IEEE Trans. Consumer Electronics, Vol. 54, No. 4, pp. 1811-1818.
- Kolkeri V.S., 2009, "Error concealment techniques in H.264/AVC for video transmission over wireless networks", M.Sc. Thesis, University of Texas.

مخابرات دانشکده مهندسی برق و کامپیوتر دانشگاه یزد است. زمینه‌های پژوهشی مورد علاقه ایشان، پردازش تصاویر ثابت و متحرک (ویدئو)، کدبندی مقاوم داده‌های ویدئویی، اختفای خطای داده‌های تصویری و اتومارکینگ تصاویر دیجیتال است.

نشانی رایانامه ایشان عبارتست از:

hghaneiy@yazd.ac.ir

ithm for video error concealment", *Multimedia Tools and Applications Journal*, Vol. 52, No. 1, pp. 91-103.

Xuefeng Zh., and Xiuchang Zh., 2010, "A novel temporal error concealment method based on fuzzy reasoning for H.264", *Journal of Electronics (China)*, Vol. 27, No. 2, pp. 197-205.

Zheng J., and Chau L.P., 2004, "A temporal error concealment algorithm for H.264 using Lagrange interpolation", *Int. Symp. Circuits and Systems (IS-CAS)*, Vol. 2, pp. 133-136.



### سید مجتبی مرvestیزاده

مدارک کارданی و کارشناسی خود را بهترتیب در رشته الکترونیک و مهندسی تکنولوژی الکترونیک از دانشکده فنی امام علی (ع) یزد و دانشگاه علم و هنر هر دو با احراز

فارغ التحصیل رتبه نخست در سال‌های ۱۳۸۶ و ۱۳۸۹ اخذ کرد. ایشان در سال ۱۳۹۲ مدرک کارشناسی ارشد خود را در رشته مهندسی برق مخابرات (سیستم) از دانشگاه یزد اخذ کرده و هم‌اکنون دانشجوی دکترا رشته مهندسی برق مخابرات (سیستم) در دانشکده مهندسی برق و کامپیوتر دانشگاه یزد هستند. همچنین، ایشان در سال ۱۳۹۳ به عنوان دانشجوی پژوهش گر نمونه دانشکده برق و کامپیوتر دانشگاه یزد برگزیده شدند. زمینه‌های پژوهشی مورد علاقه ایشان پردازش ویدئو، پردازش تصویر، اختفای خطای داده‌های ویدئویی، بینایی ماشین و مخابرات چندرسانه‌ای است.

نشانی رایانامه ایشان عبارتست از:  
mojtaba.marvasti@stu.yazd.ac.ir



### حسین قانعی یخدان مدارک

کارشناسی و کارشناسی ارشد خود را بهترتیب در رشته مهندسی برق الکترونیک و مخابرات سیستم از دانشگاه صنعتی اصفهان و دانشگاه صنعتی خواجه نصیرالدین طوسی دریافت کردند. ایشان در سال ۱۳۸۸ دکترا خود را در رشته مهندسی برق مخابرات (سیستم) در دانشگاه فردوسی مشهد به اتمام رساندند. وی در حال حاضر استادیار گروه